

УДК 564.714(571.17)

## НОВЫЕ ДАННЫЕ О КРИПТОСТОМАТАХ (BRYOZOA) ИЗ ЭМССКОГО ЯРУСА САЛАИРА

© 2013 г. О. П. Мезенцева

Кузбасская государственная педагогическая академия, Новокузнецк

e-mail: MesentsevaOP@yandex.ru

Поступила в редакцию 31.07.2012 г.

Принята к печати 15.10.2012 г.

Рассматриваются видовой и родовой состав мшанок отряда Cryptostomata из эмсского яруса Салаира. Приведены описания нового рода *Vadimella* gen. nov. в составе *V. optima* sp. nov. (типовид) и *V. devonica* sp. nov. (зона *kitabicus*), а также впервые встреченного на Салаире вида *Niigaella formosa* L. Nekhorosheva (зона *serotinus*). Приведен дополненный диагноз рода *Niigaella*.

DOI: 10.7868/S0031031X13040132

Мшанки из эмсских отложений Салаира к настоящему времени изучены весьма детально, но из отряда Cryptostomata до сих пор был обнаружен лишь один вид – *Ensiphragma mirabile* Astrova, 1968 (Ярошинская, 1983). Этот вид описан Г.Г. Астровой из разреза эмсского яруса в бассейне р. Соловыхих в северной части Горного Алтая (Астрова, Ярошинская, 1968).

Согласно принятой в настоящее время стратиграфической схеме (Решения..., 1982), эмсские отложения Салаира расчленены на салаиркинский, беловский и шандинский горизонты (рис. 1), соответствующие зонам *kitabicus*, *excavatus*, *nothoperbonus*, *inversus*, *serotinus*, *patulus* стандартной конодонтовой шкалы (Изох, 1998). Биостратиграфию и вещественный состав эмсских отложений восточного склона Салаира детально изучала группа сотрудников Института геологии нефти и газа СО АН СССР под руководством Е.А. Елкина (Стратотипические..., 1986, 1987). В этих исследованиях принимала участие и автор. Салаиркинский горизонт расчленяется на нижне-, средне- и верхнесалаиркинские слои, шандинский – на нижне-, средне- и верхнешандинские слои. В качестве стратотипа эмсского яруса Салаира и в целом западной части Алтай-Саянской складчатой области (АССО) принят разрез Б-819, расположенный в окрестностях г. Гурьевска. По особенностям вещественного состава эмсские отложения Салаира представлены четырьмя фациями: органогенно-обломочных известняков, аргиллито-известняковой, песчано-аргиллитовой, плитчатых известняков (Стратотипические..., 1986, 1987).

Эмсские криптостоматы обнаружены автором в окрестностях г. Гурьевска (разрезы Б-819, Е-828, Б-8225: Стратотипические..., 1986, 1987; Ключевые..., 2004, рис. 29). Они представлены видами

*Niigaella formosa* L. Nekhorosheva, 1977, *Ensiphragma mirabile* и *Phaenopora altaica* Astrova, 1968 (рис. 1), а также новым родом *Vadimella* gen. nov. в составе *V. optima* sp. nov. и *V. devonica* sp. nov. Мшанки *V. optima*, *V. devonica* и *N. formosa*, впервые встреченная в АССО, описаны в данной работе.

Вид *N. formosa*, открытый Л.В. Некоршевой (1977) на юге Новой Земли, отнесен ею к новому роду *Niigaella*, близкому, по ее мнению, к родам *Rhinidictya* Ulrich и *Ottoseetaxis* Bassler. Вид широко распространен там в низах эмсского яруса (местная зона *Favosites regularissimus*), но известен и в его верхней части (местная зона *Megastrophia uralensis*). На Салаире этот вид встречен в фации плитчатых известняков эмсского яруса [в частности, разрезы Е-828 и Б-8225, находящиеся, соответственно, в 1.4 км восточнее и в 0.3 км северо-западнее разреза Б-819 (Стратотипические..., 1986, 1987)]. Находка *N. formosa* на Салаире позволяет предположить существование в эмсском веке связи акваторий этого региона с субарктическими палеобассейнами Северо-Восточной Европы.

Виды *V. optima* и *V. devonica*, имеющие лентовидные дихотомически разветвляющиеся колонии, встречены в фации органогенных известняков (слои 11–14 разреза Б-819). По-видимому, распространение их контролируется фациальным фактором. В слое 15 фация органогенно-обломочных известняков сменяется на аргиллито-известняковую (Стратотипические..., 1986, с. 89), и *V. optima* и *V. devonica* исчезают из разреза. Аргиллито-известняковая фация (слои 15–23 разреза Б-819) характеризуется распространением не разветвляющихся лентовидных колоний *E. mirabile* и *Ph. altaica*. В наиболее высокой части эмсских отложений разреза Б-819 (слои 24–26) аргиллито-из-

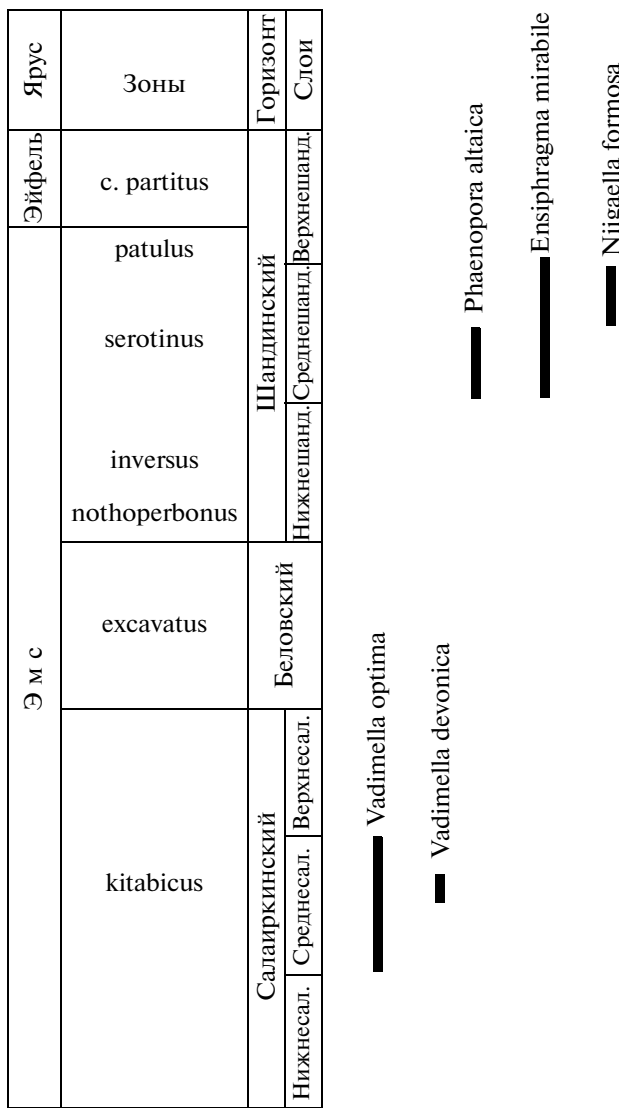


Рис. 1. Распространение криптостомат в эмском ярусе Салаира.

вестняковая фауна сменяется песчано-аргиллитовой, в которой криптостоматы не обнаружены.

Особенности распространения криптостомат в разрезе эмского яруса Салаира позволяют предполагать четко выраженную зависимость их видового состава от фациальных особенностей пород. По-видимому, у криптостомат и фенестеллид эта зависимость выражена сильнее, чем у трепостомат.

По продолжительности существования роды криптостомат, обнаруженные в эмских отложениях Салаира, подразделяются на две группы. Роды *Phaenopora* Hall, 1851 и *Ensiphragma* Astrova, 1968, принадлежащие к первой группе, появились в среднем ордовике. На Сибирской платформе, окраиной которой являлась АССО, наиболее древние представители рода *Phaenopora* из-

вестны из лландейловского века (Некорошев, 1961). Вероятно, в это время платформа находилась сравнительно близко к Северо-Американскому континенту (Scotes, McKerrow, 1990), и фенопоры проникли в его окраинные палеобассейны. Вид *Ph. tenuis* (Hall, 1847), обнаруженный в отложениях нижнего девона (ключ Ганина) Горного Алтая (Астрова, Ярошинская, 1968), впервые описан из группы Helderberg Северной Америки. К средней части эмского яруса (ключ Ганина, правобережье руч. Куваша) приурочен вид *Ph. altaica* (Астрова, Ярошинская, 1968).

Род *Ensiphragma* появился в карадокском веке позднего ордовика на северо-западе Русской платформы (Горюнова, Лаврентьева, 1993). На территории АССО представители этого рода известны в пржидолии Тузы (Пушкин и др., 1990), а также в эмском ярусе Горного Алтая и Салаира (Астрова, Ярошинская, 1968). Виды *Ph. altaica* и *E. mirabile* обнаружены автором в окрестностях с. Шебалино (долина р. Семы) и в правобережье руч. Куваша Горного Алтая. В начале эмского века, возможно, в результате начавшейся трансгрессии, в палеобассейнах Салаира появились представители более молодых родов криптостомат (*V. optimata*, *V. devonica* и *N. formosa*), отнесенные ко второй группе.

Изученная коллекция мшанок хранится в Кузбасской государственной педагогической академии (КузГПА) под номером 11.

Автор выражает искреннюю благодарность Л.В. Некорошевой за консультации.

#### О Т Р Я Д CRYPTOSTOMATA

#### ПОДОТРЯД PTILODICTYINA

##### СЕМЕЙСТВО PTILODICTYIDAE ZITTEL, 1880

##### ПОДСЕМЕЙСТВО RHINIDICTYINAE ULRICH, 1893

##### Род *Niigaella* L. Nekhorosheva, 1977

*Niigaella*: Некорошева, 1977, с. 95.

Типовой вид – *N. formosa* L. Nekhorosheva, 1977; нижний девон, эмский ярус, синельниковский горизонт; юг Новой Земли.

Диагноз. Колонии узкие лентовидные, иногда разветвляющиеся. Мезотека прямая, слабоволнистая, зигзаговидная, без капилляров. Автозооции коленчато-изогнутые, укороченно-трубчатые, с единичными сплошными диафрагмами, без гемисепт. Устья автозооциев овальные, удлиненно-овальные, образуют правильные продольные ряды, разделенные прямыми или слабоволнистыми ребрами. Центральная часть ребер пронизана частыми капиллярами, проходящими через всю экзозону. Капилляры также развиты в перистоме устьев автозооциев и единичные – на межустевых промежутках.

## Видовой состав. Типовой вид.

**Сравнение.** От рода *Rhinidictya* Ulrich, 1882 отличается отсутствием гемисепт в автозооэциях, а также капилляров в мезотеке; от рода *Stictopora* Hall, 1847 — коленчато-изогнутыми автозооэциями, устья которых образуют правильные продольные ряды, и отсутствием капилляров в мезотеке.

*Niigaella formosa* L. Nekhorosheva, 1977

Табл. VIII, фиг. 1, 2 (см. вклейку)

*Niigaella formosa*: Некоросева, 1977, с. 95, табл. 23, фиг. 1, 2.

**Голотип** — ЦНИГРмузей, № 1/10966; юг Новой Земли, п-ов Подгорного; нижний девон, эмсский ярус, синельниковский горизонт.

**Описание.** Ветви колоний лентовидные, двухслойно-симметричные, шириной 0.67–1.0 мм, толщиной 0.70–0.84 мм. Ширина эндозоны 0.24–0.32 мм, ширина экзозоны 0.21–0.36 мм. Мезотека слабоволнистая, зигзаговидная, толщиной 0.04–0.06 мм. Автозооэции укороченно-трубчатые с коленчатым изгибом в начале экзозоны и расширенные у поверхности колонии. В экзозоне в некоторых автозооэциях имеется по одной прямой диафрагме. Структура стенок автозооэций в эндозоне параллельно-пластинчатая, в экзозоне — дугообразно-пластинчатая. Устья автозооэций овальные, удлиненно-овальные, образуют на поверхности колонии 4–5 продольных рядов, разделенных прямыми или слабоволнистыми ребрами. Длина устьев 0.13–0.20 мм, ширина 0.06–0.07 мм; на 2 мм вдоль продольного ряда приходятся 7–7.5 устьев. Длина промежутков между устьями составляет 0.08–0.13 мм. В центральной части ребер располагается один ряд капилляров диаметром 0.02–0.03 мм, проходящих через всю экзозону; на 1 мм в ряду насчитывается 14–15 капилляров. По одному капилляру встречается в промежутках между устьями автозооэций; многочисленные капилляры диаметром 0.005–0.010 мм развиты в перистоме устьев. С глубиной количества и размеры капилляров уменьшаются.

**Изменчивость.** Межколониальная изменчивость проявляется в вариации толщины колоний и в характере мезотеки (прямая, слабо волнистая, зигзаговидная).

**Сравнение.** *Niigaella formosa* — единственный вид данного рода.

**Распространение.** Нижний девон, эмсский ярус, синельниковский горизонт юга Новой Земли и шандинский горизонт Салаира.

**Материал.** 2 экз. (12 шлифов), окрестности г. Гурьевска, обн. Б-8225 (слой 23).

## ПОДОТРЯД STICTOPORELLINA

## СЕМЕЙСТВО STICTOPORELLIDAE NICKLES ET BASSLER, 1900

## ПОДСЕМЕЙСТВО STICTOPORELLINAE NICKLES ET BASSLER, 1900

Род *Vadimella* Mesentseva, gen. nov.

**Название рода** в честь геолога-стратиграфа Вадима Павловича Удодова.

**Типовой вид** — *Vadimella optima* sp. nov.

**Диагноз.** Колонии тонковетвистые двухслойно-симметричные, дихотомирующие, с обрастающим основанием. Мезотека прямая или слабоизогнутая, с капиллярами. Автозооэции укороченные, коленчато-изогнутые, с диафрагмами и верхней гемисептой. Устья автозооэций овальные, округло-прямоугольные, расположены продольно-диагональными, реже поперечными рядами; в краевых частях веточки устья одно-го-двух рядов иногда расположены косо по отношению к остальным, вытянутым вдоль веточки. Автозооэции разделены прямыми или волнистыми ребрами, в центральной части которых расположены в один ряд крупные капилляры; мелкие капилляры развиты беспорядочно вокруг крупных, а также на межустьевых промежутках. Между автозооэциями спорадически встречаются единичные метазооэции, часто полностью зарастающие известковым веществом.

**Видовой состав.** Два вида: *V. optima* sp. nov. и *V. devonica* sp. nov. из нижнего девона, эмсского яруса салаиркинского горизонта Салаира.

**Сравнение.** От рода *Astrovidictya* Gorjunova et Lavrentjeva (Горюнова, Лаврентьева, 1993) отличается наличием капилляров в мезотеке, отсутствием нижней гемисепты, двумя типами капилляров: крупными, расположенными в один ряд в центральной части ребер и мелкими — беспорядочно на ребрах и межустьевых промежутках, а также спорадически (вместо по одному на каждом межустевом промежутке) развитыми метазооэциями, часто зарастающими известковым веществом.

*Vadimella optima* Mesentseva, sp. nov.

Табл. IX, фиг. 1–6 (см. вклейку)

**Название вида** от *optimus lat.* — превосходный.

**Голотип** — КузГПА, № 11/3; Салаирский кряж, окрестности г. Гурьевска, железнодорожная выемка восточнее виадука автомобильной дороги Белово-Гурьевск; нижний девон, эмсский ярус, салаиркинский горизонт.

**Описание.** Колонии ветвистые, многократно дихотомирующие, прикреплены к субстрату путем его обрастания; поперечное сечение ветвей эллипсовидное. Ширина ветвей 0.80–0.90 мм, перед дихотомией она увеличивается до 1.10 мм, толщина 0.40–0.50 мм. Диаметр эндозоны 0.14–

0.17 мм, ширина экзозоны – 0.10–0.21 мм. Мезотека прямая или слабоизогнутая, толщиной 0.01–0.02 мм, пронизана от одного края ветви до другого одним рядом круглых капилляров диаметром 0.01–0.02 мм; расстояние между капиллярами составляет 0.03–0.04 мм. Автозооции укороченные, коленчато-изогнутые с прямой, иногда слабо выпуклой нижней стороной. Стенки автозооцииев в экзозоне утолщаются до 0.03–0.13 мм и приобретают конусовидно-пластинчатую структуру. Диафрагмы прямые, реже вогнутые или выпуклые, развиты в экзозоне по 1–2 в каждом автозооции. Верхняя гемисепта шипкообразная, длиной не более 0.02 мм; нижняя – отсутствует. Устья автозооцииев овальной, узкоовальной, иногда округло-овальной формы с перистомой шириной 0.04–0.06 мм. Они образуют продольные, диагонально пересекающиеся ряды; на поверхности ветви насчитывается 4–7, перед разветвлением до 8–11 рядов устьев. В краевых частях ветви один, два, а в области дихотомии до трех рядов устьев, они расположены косо по отношению к остальным, длинные оси которых вытянуты вдоль ветви. Длина устьев составляет 0.10–0.14 мм, ширина – 0.04–0.06 мм, при этом в краевых рядах устья крупнее, чем в срединных. По продольному ряду на 2 мм насчитывается 6–7.5 устьев, по диагонали на 1 мм – 4.5–5.5, поперек колонии на 1 мм – 4–5. В ряду устья отстоят друг от друга на 0.15–0.20 мм, расстояние между рядами устьев варьирует от 0.15 мм до 0.22 мм. Автозооции разделены прямыми, иногда слабоизогнутыми ребрами, в центральной части которых располагаются в один ряд крупные капилляры. Они проходят из мезотеки и разветвляются в начале экзозоны на несколько параллельных трубок. Диаметр капилляров составляет 0.02–0.03 мм, расстояние между их центрами варьирует от 0.05 до 0.20 мм (на 1 мм насчитывается 9–12 капилляров). Промежутки между крупными капиллярами и пониженные междуустевые промежутки пронизаны многочисленными беспорядочно расположенным мелкими капиллярами (диаметр до 0.01 мм), количество которых с глубиной уменьшается. Они иногда образуют пятна в зоне дихотомии. Между автозооциями спорадически развиты единичные метазооции, заросшие у поверхности колонии и нередко по всей длине известковым веществом. Размеры по длинной оси не заросших овальных и круглых устьев метазооцииев составляют 0.03–0.07 мм.

**Изменчивость.** Наблюдается межколониальная изменчивость, выражаясь в варьировании длины устьев автозооцииев от 0.10–0.11 мм до 0.10–0.14 мм, причем в слоях 12 и 14 обн. Б-819 колонии с крупными устьями встречаются редко, а в слое 13 они преобладают.

**Сравнение.** *V. optima* отличается от *V. devonica* sp. nov. меньшей шириной ветвей (0.80–

0.90 мм вместо 0.90–1.30 мм) и их эллипсовидным (вместо линзовидного) поперечным сечением, более частыми капиллярами в мезотеке (на 1 мм приходится 9–12 вместо 8–9), меньшими размерами устьев автозооцииев (длина 0.10–0.14 мм вместо 0.11–0.17 мм и ширина 0.04–0.06 мм вместо 0.06–0.08 мм) и метазооцииев (0.03–0.07 мм вместо 0.06–0.10 мм), расположением устьев автозооцииев продольно-диагональными рядами (при этом в центральной части ветви устья длинной осью вытянуты вдоль нее, а в краевых частях – под углом к первым) и отсутствием поперечного их расположения, а также широкими ребрами, разделяющими ряды устьев.

**Распространение.** Нижний девон, эмсский ярус, салаиркинский горизонт, средне- и верхнесалаиркинские слои Салаира.

**Материал.** 36 экз. (75 шлифов), окрестности г. Гурьевска, обн. Б-819 (слои 11–14).

#### *Vadimella devonica Mesentseva, sp. nov.*

Табл. VIII, фиг. 3, 4

**Название** вида от девонского периода.

**Голотип** – КузГПА, № 11/9; Салаирский кряж, окрестности г. Гурьевска, железнодорожная выемка восточнее виадука автомобильной дороги Белово–Гурьевск; нижний девон, эмсский ярус, салаиркинский горизонт.

**Описание.** Колонии ветвистые, дихотомирующие, с линзовидным поперечным сечением ветвей; встречается самообрastание. Ширина ветвей 0.90–1.30 мм, перед дихотомией она увеличивается до 1.70 мм; толщина 0.30–0.50 мм. Диаметр эндозоны 0.11–0.18 мм, ширина экзозоны 0.10–0.17 мм. Мезотека прямая толщиной 0.01 мм, с капиллярами наиболее крупными в краевых частях колонии; диаметр капилляров 0.005–0.020 мм, расстояние между ними (от центра до центра) составляет 0.06–0.10 мм. Автозооции укороченные, коленчато-изогнутые с прямыми, слабовогнутыми диафрагмами, развитыми в экзозоне по 1–2 в автозооции; в некоторых – отсутствуют. Верхняя гемисепта длиной около 0.02 мм; нижняя – отсутствует. Стенки автозооцииев в экзозоне с конусовидной структурой, толщиной 0.03–0.18 мм. Устья автозооцииев округло-прямоугольной, овальной, удлиненно-овальной формы, вытянутые вдоль оси ветви. Они образуют от 8 до 11, а в зоне дихотомии до 18 продольно-диагональных, реже поперечных рядов, разделенных узкими, волнистыми ребрами. Длина устьев 0.11–0.17 мм, ширина – 0.06–0.08 мм; вдоль продольного ряда на 2 мм насчитывается 5.5–7 устьев, по диагонали на 1 мм – 4–6, поперек колонии на 1 мм – 4–4.5. Расстояние между устьями в ряду и между рядами устьев одинаковое и составляет 0.11–0.21 мм. В центральной части ребер в один ряд располагаются круп-

ные капилляры диаметром 0.02–0.03 м (на 1 мм приходится 7–13 капилляров). Мелкие капилляры диаметром 0.008–0.014 мм развиты беспорядочно, в основном, на междустьевых промежутках. Между автозооэциями спорадически встречаются единичные метазооэции, обычно зарастающие у поверхности и по всей длине известковым веществом. Устья метазооэциев округленно-многоугольные, реже овальные, диаметром 0.06–0.10 мм.

**Справление.** Дано при описании *V. optima*.

**Распространение.** Нижний девон, эмсский ярус, салаиркинский горизонт, среднесалаиркинские слои Салаира.

**Материал.** 9 экз. (19 шлифов), окрестности г. Гурьевска, обн. Б-819 (слои 11, 12).

### СПИСОК ЛИТЕРАТУРЫ

- Астрова Г.Г., Ярошинская А.М. Раннедевонские и эйфельские мшанки Салаира и Горного Алтая // Новые материалы по стратиграфии и палеонтологии нижнего и среднего палеозоя Западной Сибири. Томск: Изд-во Томского ун-та, 1968. С. 47–62.  
 Горюнова Р.В., Лаврентьева В.Д. Морфология и система криптоствомидных мшанок. М.: Наука, 1993. 152 с. (Тр. Палеонтол. ин-та РАН. Т. 257).  
 Изох Н.Г. Конодонты и зональное расчленение эмских отложений Салаира. Автореф. дисс.... канд. геол.-мин. наук. Новосибирск, 1998. 25 с.

Ключевые разрезы девона Рудного Алтая, Салаира и Кузбасса. Новосибирск: Изд-во СО РАН, 2004. 104 с.

Некоршев В.П. Ордовикские и силурийские мшанки Сибирской платформы. М.: Госгеолтехиздат, 1961. 246 с. (Тр. ВСЕГЕИ. Н.С. Т. 41. Вып. 2).

Некоршева Л.В. Новый род девонских мшанок Новой Земли // Новые виды древних растений и беспозвоночных СССР. Вып. 4. М.: Наука, 1977. С. 95–96.

Пушкин В.И., Некоршева Л.В., Копаевич Г.В., Ярошинская А.М. Пржидольские мшанки СССР. М.: Наука, 1990. 125 с.

Решения Всесоюзного совещания по разработке унифицированных стратиграфических схем докембрая, палеозоя и четвертичной системы Средней Сибири, 1979 г. Новосибирск: Изд-во ИГиГ СО АН СССР, 1982. Ч. 2. 127 с.

Стратотипические разрезы нижнего и среднего девона Салаира. Теленгитский надгоризонт: терригенно-карбонатные фаации. Новосибирск: Изд-во ИГиГ СО АН СССР, 1986. 143 с.

Стратотипические разрезы нижнего и среднего девона Салаира. Теленгитский надгоризонт: карбонатные фаации. Новосибирск: Изд-во ИГиГ СО АН СССР, 1987. 194 с.

Ярошинская А.М. Девонские мшанки Салаира // Тез. VI конф. по ископаемым и современным мшанкам. Пермь, 1983. С. 55–57.

Scotese C.R., McKerrow W.S. Revised world maps and introduction // Palaeozoic palaeogeography and biogeography. Mem. Geol. Soc. 1990. № 12. P. 1–21.

### Объяснение к таблице VIII

Фиг. 1, 2. *Niigaella formosa* L. Nekhorosheva, 1977: 1 – экз. КузГПА, № 11/1: 1а – тангенциальное сечение ( $\times 50$ ), 1б – продольное сечение ( $\times 50$ ); 2 – экз. КузГПА, № 11/2: 2а – продольное сечение ( $\times 50$ ), 2б – тангенциальное сечение ( $\times 50$ ), 2в – поперечное сечение ( $\times 50$ ); Салаир, окрестности Гурьевска; нижний девон, эмсский ярус, шандинский горизонт. Фиг. 3, 4. *Vadimella devonica* sp. nov.: 3 – голотип КузГПА, № 11/9: 3а – продольное сечение, видны верхняя гемисепта и диафрагмы ( $\times 70$ ); 3б – тангенциальное сечение, в правом нижнем углу видны устья метазооэциев ( $\times 50$ ); 4 – экз. КузГПА, № 11/10, поперечное сечение ( $\times 40$ ); Салаир, окрестности Гурьевска; нижний девон, эмсский ярус, салаиркинский горизонт.

### Объяснение к таблице IX

Фиг. 1–6. *Vadimella optima* sp. nov.: 1 – голотип КузГПА, № 11/3: 1а – продольное сечение, справа видны параллельные трубы капилляров, разветвляющихся в начале экзозоны ( $\times 70$ ), 1б – тангенциальное сечение ( $\times 50$ ), 1в – переуглубленное тангенциальное сечение, в левой части видны несколько поперечных сечений метазооэциев ( $\times 60$ ); 2 – экз. КузГПА, № 11/4, поперечные сечения ( $\times 60$ ); 3 – экз. КузГПА, № 11/5, тангенциальное сечение, в краевых частях ветви устья расположены косо, а в центральной – вытянуты вдоль ее оси ( $\times 50$ ); 4 – экз. КузГПА, № 11/6, продольное сечение, видны верхняя гемисепта и диафрагмы ( $\times 80$ ); 5 – экз. КузГПА, № 11/7, тангенциальное сечение ( $\times 50$ ); 6 – экз. КузГПА, № 11/8, тангенциальное сечение участка разветвления колонии ( $\times 25$ ); Салаир, окрестности Гурьевска; нижний девон, эмсский ярус, салаиркинский горизонт.

## New Data on Cryptostomata (Bryozoa) from the Emsian Stage of the Salair Ridge O. P. Mesentseva

The species and generic compositions of bryozoans of the order Cryptostomata from the Emsian Stage of the Salair Ridge are discussed. A new genus, *Vadimella* gen. nov., comprising *V. optima* sp. nov. (type species) and *V. devonica* sp. nov. (*kitabicus* Zone), as well as the species *Niigaella formosa* L. Nekhorosheva (*serotinus* Zone), which has for the first time been recorded on the Salair Ridge, are described. The generic diagnosis of *Niigaella* is supplemented.

Таблица VIII

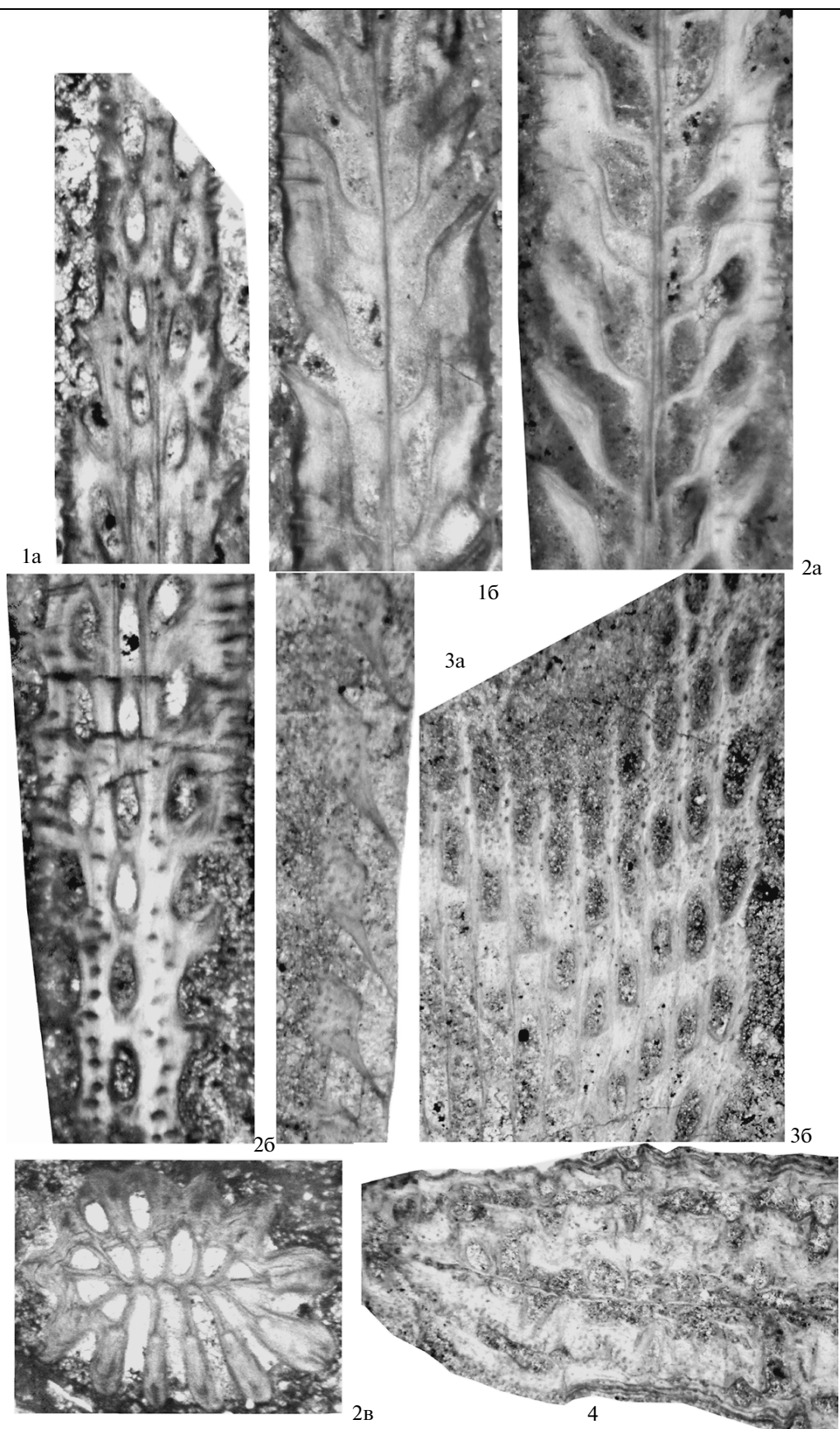


Таблица IX

